Zeitschrift: IABSE reports of the working commissions = Rapports des

commissions de travail AIPC = IVBH Berichte der Arbeitskommissionen

Band: 9 (1971)

Artikel: Tubes profilés pour planchers et tabliers

Autor: Daddi, Ivo / Venanzi, Umberto

DOI: https://doi.org/10.5169/seals-10379

Nutzungsbedingungen

Die ETH-Bibliothek ist die Anbieterin der digitalisierten Zeitschriften auf E-Periodica. Sie besitzt keine Urheberrechte an den Zeitschriften und ist nicht verantwortlich für deren Inhalte. Die Rechte liegen in der Regel bei den Herausgebern beziehungsweise den externen Rechteinhabern. Das Veröffentlichen von Bildern in Print- und Online-Publikationen sowie auf Social Media-Kanälen oder Webseiten ist nur mit vorheriger Genehmigung der Rechteinhaber erlaubt. Mehr erfahren

Conditions d'utilisation

L'ETH Library est le fournisseur des revues numérisées. Elle ne détient aucun droit d'auteur sur les revues et n'est pas responsable de leur contenu. En règle générale, les droits sont détenus par les éditeurs ou les détenteurs de droits externes. La reproduction d'images dans des publications imprimées ou en ligne ainsi que sur des canaux de médias sociaux ou des sites web n'est autorisée qu'avec l'accord préalable des détenteurs des droits. En savoir plus

Terms of use

The ETH Library is the provider of the digitised journals. It does not own any copyrights to the journals and is not responsible for their content. The rights usually lie with the publishers or the external rights holders. Publishing images in print and online publications, as well as on social media channels or websites, is only permitted with the prior consent of the rights holders. Find out more

Download PDF: 23.10.2025

ETH-Bibliothek Zürich, E-Periodica, https://www.e-periodica.ch

Tubes profilés pour planchers et tabliers

Fixed Joint Tubes for Floorings and Bridge Decks

Eingespannte Profilröhren für Fahrbahndecken

IVO DADDI

Dr. Ing.
Dirigente Italsider S.p.A.
Professore Associato
presso l'Università di Genova

UMBERTO VENANZI

Dr. Ing.
Direttore Centro Carpenteria
Dalmine S.p.A.

Italie

1. Introduction

Un problème d'intérêt considérable pour la technique de la construction est représenté par la réalisation de planchers ou tabliers faciles à construire, dont le coût est relativement bas et qui peuvent être rapidement montés.

Ces caractéristiques doivent être accompagnées par un poids minime ce qui est particulièrement important dans la construction des ponts, par une grande du rabilité et résistance dans le temps aussi vis-à-vis des phénomènes de fatigue.

Des profilés tubulaires fermés pourraient être particulièrement intéressants surtout en vue de la possibilité d'une fabrication par procédé continu et en considération de leurs caractéristiques de resistence et de la facilité de leur mise en oeuvre.

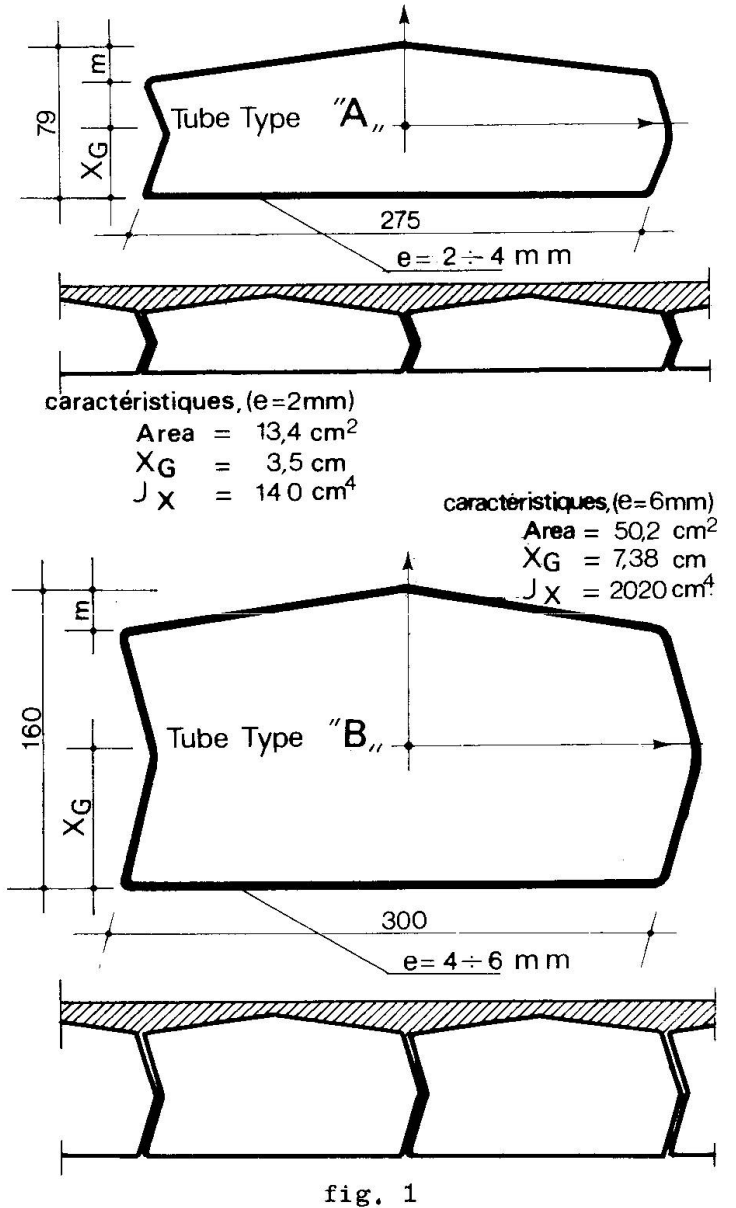
2. Les éléments et leur mise en oeuvre

La fig. 1 montre les dessin des sections transversales de deux éléments tu bulaires récemment brévetés en Italie, destinés à des planchers ou tabliers, de ty pe léger (type A) et lourd (type B). Ces éléments ont été obtenus de tôles conve nablement cintrées et soudées. Les épaisseurs de production pourront varier de 2 à 6 mm.

Une première analyse a montré que la meilleure application de ces profilés devrait être dans la construction de tabliers fortement chargés exigeant l'emploi du type B.

Le schéma de montage des éléments pouvant avoir une longueur jusqu'à 5 m en viron, prévoit la disposition des tubes l'un à côté de l'autre, de façon que l'a rête latérale d'un élément vient se placer dans la rainure à V de l'élément contigu, comme illustré dans la fig. 1. Les tubes seront appuyés aux extrémités et main tenus en place par des goujons d'assemblage en tôle pliée et ancrés par deux bou lons aux traverses de support suivant le schéma illustré dans la fig. 2.

La tolérance de largeur du tube doit être contenue dans des limites étroi tes pour assurer le positionnement exact des boulons. En tout cas il sera possi ble d'appliquer des mesures spéciales pour l'assemblage, telles que l'interposi



les orthotropes est dû à la préoccupation d'assurer une valeur élevée coefficient d'adhérence entre la première couche de protection adhérente et la tôle de base. Pour augmenter cet te adhérence on a souvent recours à des dispositifs mécaniques, par exemple par le soudage de treillis ou de res d'aciers en zig-zag sur les tôles. Pour les éléments en question, donné leur forme spéciale, il ne vrait point être nécessaire d'avoir re cours à des dispositfs de ce genre, par ce que l'adhérence devrait être en tout cas assurée.

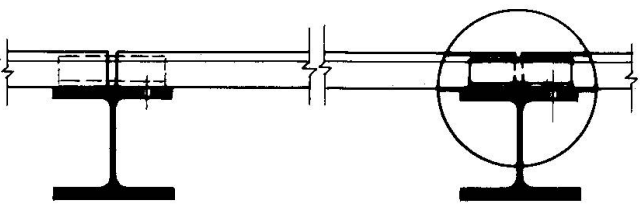
tion de cales de régistration en tô le pliée et la fabrication éventuel le d'éléments particuliers de moin dre largeur. En outre, dans le but de realiser une bonne collaboration transversale il pourrait convenir de limiter l'étendue d'assemblage entre deux traverses successives à une portée qui ne doit pas excéder deux fois la distance entre les appuis des éléments.

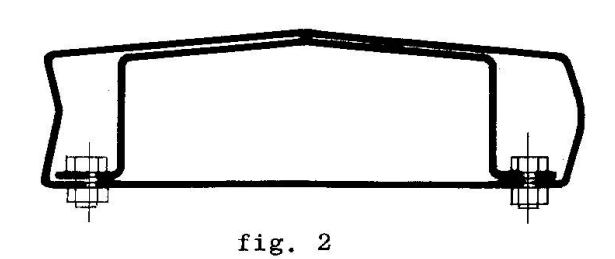
Il sera donc possible de réaliser un joint sur les traverses a façon de reprendre les jeux; le remplissage du joint est fait ensuite avec du matériel de scellement et des conglomérats élastiques.

La protection contre la corrosion pourra être réalisée par bitumage ou par l'emploi d'acier autoprotectifs tel quel le COR-TEN ou IT-ACOR.

La surface supérieure du plancher pourra donc être nivelée par un pavage en matériel bitumineux ou par un léger damage.

Le plus grand soin dans la mi se en oeuvre du bitumage sur de tô





3. Essais expérimentaux sur des éléments séparés

Des essais expérimentaux ont été effectués sur quelques éléments en acier du type Fe 42 C ayant une limite d'élasticité minimum de 24 Kg/mm².

Pour les éléments A on a agi sur 4 éléments de 2 mm d'épaisseur, posés l'un à coté de l'autre, avec une distance entre les appuis de 4,5 m et une charge \underline{u} niformement répartie.

Dans un premier essai on a opéré sur des éléments avec une montée (fig.1) de 10 mm; un deuxième essai a été fait successivement sur des éléments avec m=0.

L'affaissement des éléments a lieu par instabilité du bord supérieur com primé et il s'est vérifié aux valeurs suivantes de tension:

pour
$$m = 0 \text{ mm}$$
, $G'_{c} = -11 \text{ Kg/mm}^{2}$; pour $m = 10 \text{ mm}$, $G'_{c} = -17.5 \text{ Kg/mm}^{2}$

Pour les éléments du type B on a agi sur des éléments individuels ayant m = 10 mm et une épaisseur de 5 mm, soumis à 2 charges concentrées avec differents entre-axes.

L'affaissement eu lieu en correspondance aux sections d'application des charges par instabilité élastique du bord supérieur comprimé, aidé par la présence concomitante de la force de cisaillement.

Les tensions d'affaissement étaient:

pour i = 2.50 m,
$$\sigma_c = -18,5 \text{ Kg/mm}^2$$
; pour i = 1.15 m, $\sigma_c = -19,5 \text{ Kg/mm}^2$

Donc si nous voulons porter la tension d'affaissement par instabilité à <u>u</u> ne valeur qui ne diffère pas de beaucoup de la valeur d'étirage du matériau, il faudra augmenter la montée des éléments jusqu'à m = 15 mm pour le type A et m = 20 mm pour le type B. En présence de charges concentrées il faut adopter les plus fortes épaisseurs afin de garantir la stabilité de forme du profilé.

4. Essais expérimentaux sur tablier

Le problème de la collaboration transversale entre le tubes, qui sont profilés de façon à transmettre les forces de cisaillement le long de la génératrice de contact, a éte étudié par des expériments sur dalles complètes. Avec des eléments du type A on a formé un tablier de 15 tubes posés l'un à coté de l'autre, soumis d'abord à une charge répartie en conditions d'ancrage d'appui aux extrémités des profilés (fig. 3) (schéma I) avec une portée nette de 4.40 m, et ensuite avec appui sur les quatre cotés et un débouché entre les appuis latéraux de 3.70 m (schéma II).

La fig. 4 montre les diagrammes de la flèche mesurée au centre du tablier pour les deux schémas. Les flèches de calcul ont été aussi indiquées dans ce diagramme.

Dans la fig. 5 sont illustrées les déformations unitaires longitudinales dans la section du milieu de l'élément central, comme moyenne de 3 extensomètres électriques, à variation de resistence. Les droites calculées ont été aussi indiquées dans la figure.

Les droites théoriques du schéma I ont été calculées dans la supposition légitime d'un comportement indépendant des éléments.

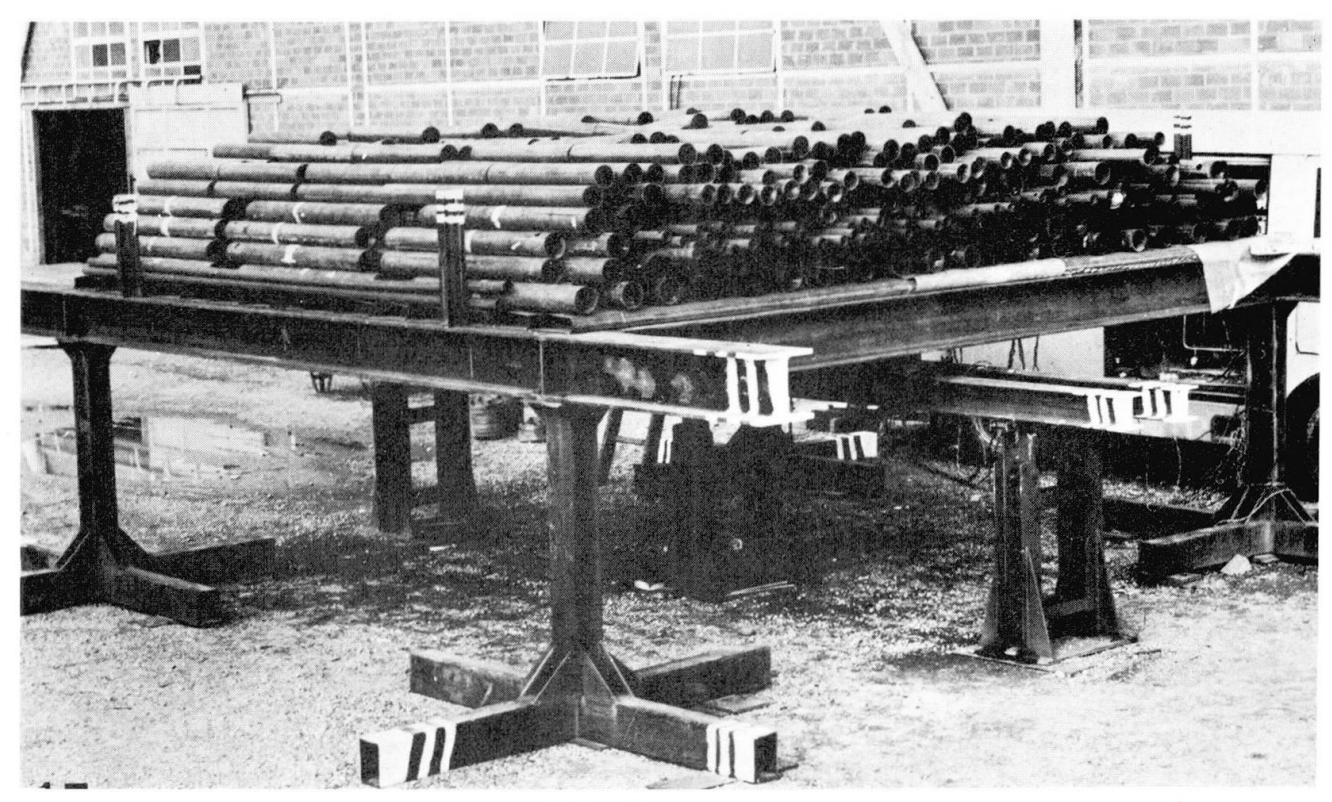


fig. 3

Pour le schéma II, compte a été tenu de la collaboration transversale au cisai<u>l</u> lement des éléments ainsi que de la rigidité torsionelle à la De Saint Venant du profilé, toutefois négligeant la variation de forme qui causerait des complications de calcul considérable sans fournir des corrections techniquement signifiantes des résultats (1), (2).

Le schéma de calcul qui tient compte de la rigidité flexion et de torsion paraît en core assez compliqué. Il peut ê tre rendu plus accessible, en con sidérant dans la section sversale au milieu du tablier u ne série d'éléments à connexion articulée, ayant rigidité flexion et de torsion. Le problé me est alors reduit à une recher 400 che de la solution d'un systéme élastique à "n" variables hyperstatiques, de solution facile puisque les équations sont chaînées. La variable hyperstati 200 que peut être considérée par pre mière approximation concentrée dans le point central de l'arti culation longitudinale. Dans une deuxième approximation, tenant compte du contact le long de tou te la génératrice de deux profi

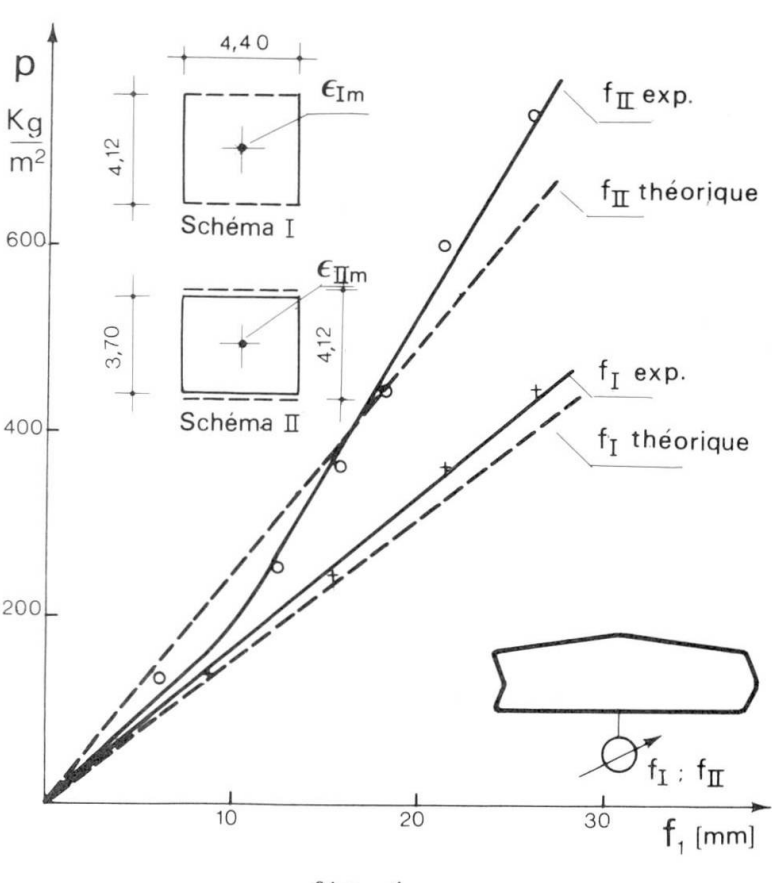
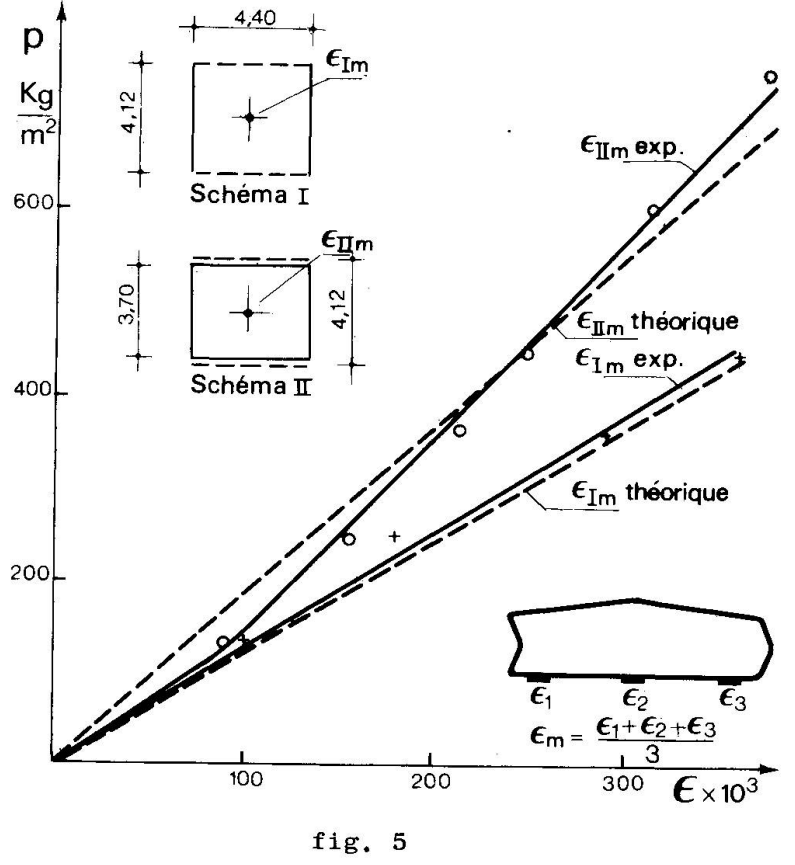


fig. 4



lés se trouvant côte à côte, la valeur de la variable hyperstatique pourra être corrigée par une répartition selon la loi parabolique sur toute la longueur de l'articulation longitudinale (3). Une comparaison entre les deux types de calcul nous four nit aussi une idée de ce qui se passe quand le contact entre deux éléments contigus est réduit, à cause des imperfections d'usinage, à quelques points seulements.

En considérant une répartition parabolique des forces de cisaillement le long de la génératrice de contact, on obtient, avec le schema simplifié de calcul, les flèches des deux schémas de la charge dans le point centrale de la dalle:

$$\frac{f_{II}}{f_{I}} = 0.68$$

Dans les diagrammes de la fig. 4 et 5 on a ainsi tracé les droites théoriques de flèche et de déformation calculées suivant la hypothèse susmentionnée et indiquées par $\mathbf{f}_{\mathbf{IIt}}$ et $\mathbf{\xi}_{\mathbf{IIt}}$.

Les diagrammes expérimentaux de f et & montrent des variations d'in clinaison, ce qui prouve que la collaboration transversale entre les éléments augmente avec l'accroissement de le charge.

Dans le tablier réalisé avec des éléments du type A on a observé qu'à des valeurs de charge très basses il y a une collaboration reduite entre les éléments, tandis qu'à une charge plus élevée, soit à partir de 150 Kg/m² environ, on s'approche sensiblement au niveau de collaboration théoriquement prévu, dans la hypothèse de simplification adoptée pour construire les droites théoriques du schema II.

La méthode expérimentale d'application de la charge formée par des bouts de tubes, a la tendance à exalter légèrement cette collaboration en transférant les charges aux éléments en correspondance des extrémités des tubes. Cet effet paraît toutefois négligeable compte tenu de la longueur limités des bouts de tube.

Dans un deuxième tablier (fig. 6) réalisé avec 14 éléments du type B <u>po</u> sés côte à côte, avec une portée nette de 4.50 m, expérimenté dans l'Institut Polytechnique de Turin, on a voulu étudier la collaboration transversale aussi bien avec une couple de charges sur tous les éléments (suivant un schéma sim<u>i</u>

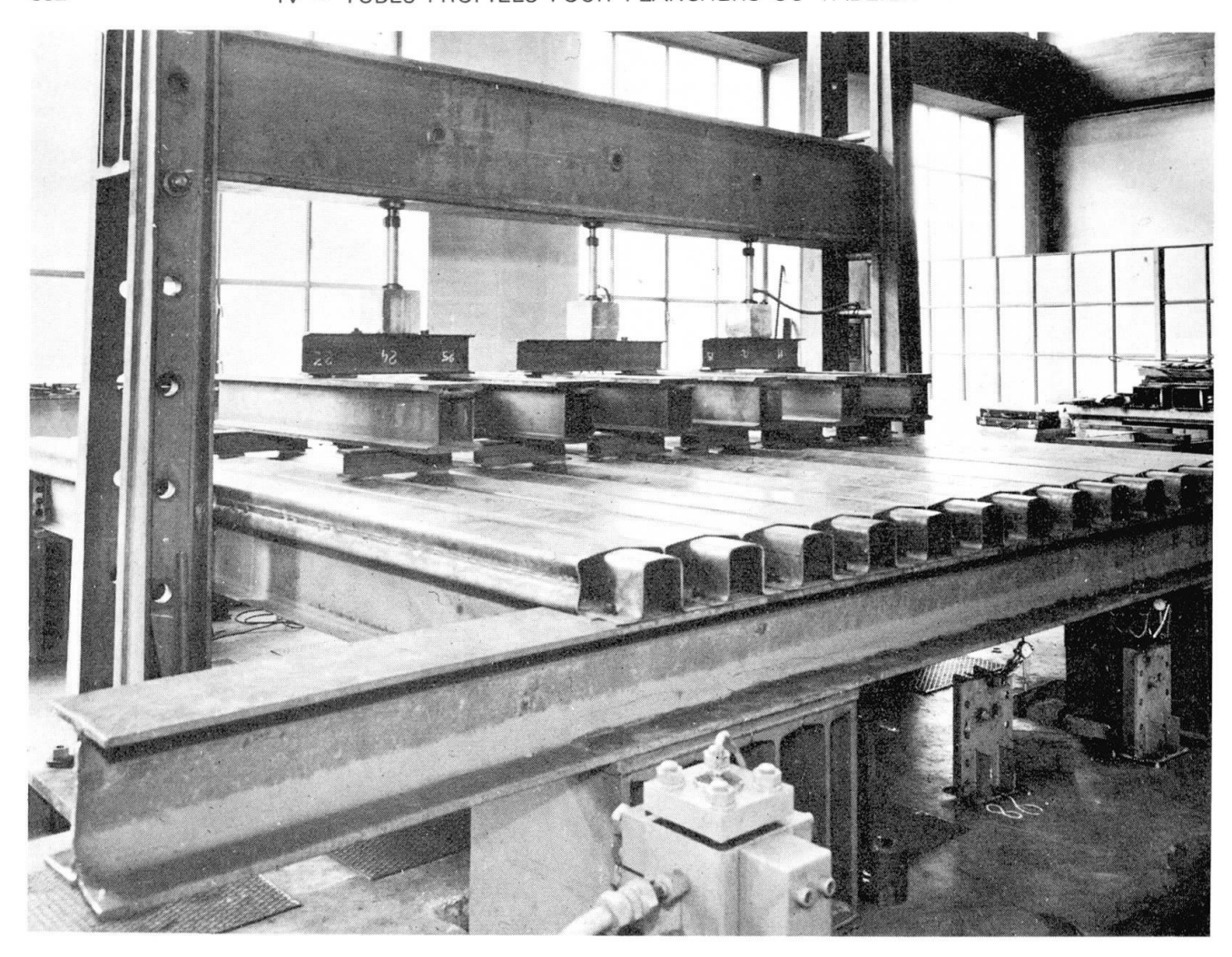


Fig. 6

laire à celui de la charge répartie), qu'avec une seule charge concentrée dans de différentes positions sur le tablier.

Les résultats ont confirmé l'allure générale déja constatée lors des <u>es</u> sais sur le tablier du type A, la collaboration étant néanmoins déjà plus sens<u>i</u> ble à des valeurs basses de la charge.

Un essai de fatigue à charge progressive a été aussi effectué avec une charge concentrée dans le centre du tablier, les tensions initiales au bord in férieur des deux tubes centrales chargés étant de $G_{\min} = 3 \text{ Kg/mm}^2$ $G_{\max} = 6 \text{ Kg/mm}^2$. $G_{\max} = 6 \text{ Kg/mm}^2$ a été augmentée de 1.5 Kg/mm chaque 10^5 cycles, jusqu'a 15 Kg/mm. La cassure par fatigue n'a pas été obtenue: étant donné qu'il s'agi d'a cier doux et manquant des effets particuliers de concentration des efforts, on arrive d'abord à la condition d'instabilité du bord supérieur comprimé. La collaboration transversale ne diminuit que de peu au cours des essais.

Au cours de l'essai successif de rupture avec une seule charge concentrée au milieu du tablier on a pu observer que la situation critique est toujours dé terminée par instabilité mais que la collaboration transversale tient les élé ments en position évitant ainsi leur affaissement total.

Des essais de fatigue sont en cours sur un tablier similaire à revêtement.

Conclusions

Nous sommes d'avis que cette solution de construction pourra étendre le domaine de l'influence de l'acier dans le bâtiment.

En particulier, dans la construction de tabliers de pont ce système pourra ren dre économique l'utilisation de l'acier mêmes pour des portées relativement fai bles, grâce à la légèreté du tablier et à son coût modéré, ainsi qu'à la possibilité de préfabrication et à la facilité de montage des éléments.

Bibliographie

- (1) B.Z. Vlassov, Pièces longues en voile mince, Eyrolles, Paris (1962)
- (2) G. Spaethe, Théorie elastischer Balkenreihen, AIPC, Abhandlungen (1968)
- (3) G.M. Bo, E. Leporati, Sul comportamento statico ed a fatica di un impalcato realizzato con elementi tubolari (Mémoire présentée au Congrès organi sé par CTA, Alberobello, Oct. 1971).

RESUME

Une description est donnée d'un nouveau système de construction de tabliers, utilisant des tubes profilés à encastrement. Après l'illustration du procédé de fabrication et de montage, on reporte les résultats des essais effectués sur des éléments et sur des prototypes de tabliers; les essais montrent que le comportement de ces tabliers est satisfaisant.

SUMMARY

A description of a new flooring and bridge deck construction system with the utilization of fixed joint tubes, is given.

The Authors, after illustrating the manufacturing and assembly process, report the results obtained from trials performed on separate elements and on some prototype floorings.

These tests show a satisfactory behaviour of these decks.

ZUSAMMENFASSUNG

Es wird eine Beschreibung von Fahrbahndecken gegeben, die nach einem neuen Herstellungsverfahren unter Verwendung von eingespannten Profilröhren hergestellt werden

Nach Erläuterung des Herstellungs- und Montageverfahrens wird über die Versuchsergebnisse, die sowohl mit einzelnen Elementen wie auch mit Prototypdecken gewonnen wurden, berichtet.

Das Verhalten dieser Decken, wie es aus diesen Prüfungen hervorgeht, kann als befriedigend betrachtet werden.

Leere Seite Blank page Page vide